

岩手大学 正見 平山 健一
岩手大学 大村 政義

1 はじめに

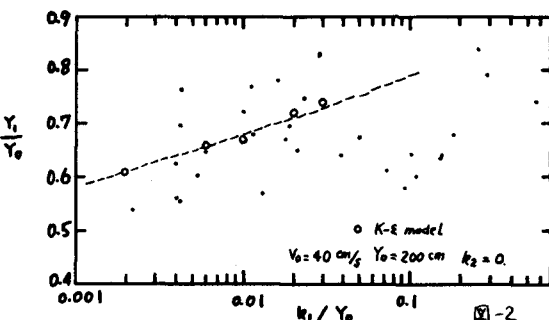
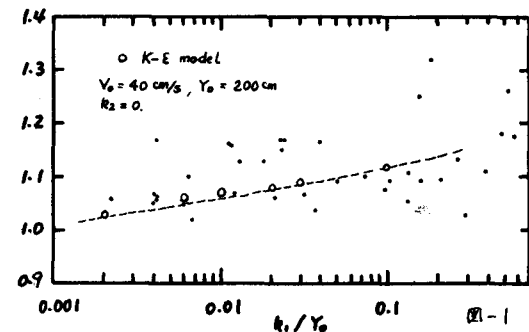
著者らは 結氷期の河川の流況についての調査と実施し、結氷板の形成過程や その流れに対する抵抗の大きさなどについてまとめたが、本報告では結氷板下の流速分布の実測値より その特性を調べた。結氷板の形成に伴い流れの混合、運搬機構に変化が生じ その能力が減ることは いくつかの文献に発表されている。又、流量観測においても、流速測定がその精度を左右する。 本報告は これらの研究の一歩として実測資料をまとめたものである。

2 観測と資料のまとめ

流速分布の実測は 河川の水状態比較的安定な1~2月に北海道で行われた。 使用した流速計は T.F式 パロペラ型流速計、同型微流速計、野外用ビト-管(ヒ-9-付)、電磁流速計などで、氷板にあけた穴より上下の移動の可能な支持棒にとりつけて氷板下面より河床までの鉛直分布と測定した。 分布測定後、 $2M \times 1^m$ 程度の大きさに氷板と切りそり氷との接面を観察した。 水素、流速の範囲はそれぞれ $30 \sim 200 \text{ cm}$, $20 \text{ cm/s} \sim 100 \text{ cm/s}$ の資料がえられている。 流速分布は最大流速の位置を境に 河床と氷板の影響域にわけ それぞれの深さを Y_1 , Y_2 とした。 次に Prandtl-Karman型の流速分布公式 $U/U_\infty = \ln 30y/k - \frac{1}{k}$ をそれぞれの領域に適用してマツツ速度 U_0 、相面粗度 k を分布より算出した。(カルマン係数 k は 0.4とした)。 これらの値を用いて $Re = U_0 k / v$ を調べ $Re < 5.0$ 以下の場合は滑面に対応しているものとみなした。 河床はすべて相面であつたので氷板が滑面の場合、粗面の場合の2つに分布を分類した。 又、両領域の速度を積分して平均流速 V_1 , V_2 をそれぞれ河床、氷板領域に対応して求めた。 図-1は氷板滑面の場合につき Y_2/V_1 と k_1/Y_0 ($Y_0 = Y_1 + Y_2$) の関係を 図-2は同じく Y_1/Y_0 と k_1/Y_0 の関係を示している。 同様に氷板粗面の場合に Y_2/V_1 及び Y_2/V_1 につき k_2/k_1 をパラメーターにして 図-3, 4にそれぞれ示した。

3 考察

結氷下の流れは結氷板の存在のため流れを外部から遮断することは難しく、又、融氷の局所的な導管により流れが3次元的である場合も想像され 資料にある程度のバラツキは避けられない。 二のような流れの流速分布公式としては 本例で便宜的にあてはめた対数型の式の外に 2次曲線及び、両者の組合せなどが提案されている。 本観測例でも流速分布はその最大流速附近が平坦な部分をもつ。 確界近くで成立して $\log y$ と U の直線関係からはずれてくることが認められた。 図1~4に示されている曲線は 両領域に単純に対数型分布式をあてはめて導かれた式1~4に $Y_0 = 200 \text{ cm}$, $k_1 = 20 \text{ cm}$, $k_2 = 0.02 \sim 10 \text{ cm}$, $U_{02} = 20 \text{ cm/s}$ を与えて得られた計算例の結果を示してある。 上記の計算条件は 資料の水理条件とは必ずしも一致しないが V_2/V_1 , Y_1/Y_0 , Y_2/Y_1



(冰被消滅の場合)

$$\sqrt{\frac{Y_1}{Y_0 - Y_1}} (8.5 + 5.75 \log_{10} \frac{Y_1}{k_1}) = 5.5 + 5.75 \log_{10} \frac{U_{k_2}(Y_0 - Y_1)}{V} \quad (1)$$

$$\frac{V_1}{V_2} = \sqrt{\frac{Y_1}{Y_0 - Y_1}} \frac{6.0 + 5.75 \log_{10} \frac{Y_1}{k_1}}{3.0 + 5.75 \log_{10} \frac{U_{k_2}(Y_0 - Y_1)}{V}} \quad (2)$$

(冰被粗面の場合)

$$\sqrt{\frac{Y_1}{Y_0 - Y_1}} (\ln \frac{30Y_1}{k_1}) = \ln \frac{30(Y_0 - Y_1)}{k_2} \quad (3)$$

$$\frac{V_1}{V_2} = \sqrt{\frac{Y_1}{Y_0 - Y_1}} \frac{\ln \frac{30Y_1}{k_1} - 1}{\ln \frac{30(Y_0 - Y_1)}{k_2} - 1} \quad (4)$$

などのパラメータに対する傾向は正しいと認められる。図中の○印で示された点は Launder and Spalding の著書に紹介されており K-E 乱流モデルと用いた Lau の計算値である。結氷河川における実測値を用いた本報告では分布型の適否について明確な結論を導くことは不可能であるが例えは渦動粘性係数の実際にはさわしい流速分布型などにつき今後、実験、数値解析などと系統的にすりめていくことが大切であろう。

4 2点法、1点法による測定平均流速

流速分布の観測結果により求められた直測経の平均流速 \bar{V} と2点法、1点法による流速との比較を行った。資料は平坦氷被、Icarippled のある氷被、氷被下に晶水の薄層のある場合、晶水流下中など種々の氷の状態でえられた 335 個の分布である。図-5 は水深 50 cm 以上の資料について $\Delta V/\bar{V} = \frac{1}{2} (V_{0.2} + V_{0.8}) / \bar{V}$ (但し $V_{0.2}, V_{0.8}$ は水深の 2 制、8 制の点の流速) で表わされる相対誤差のヒストグラム

図-5 のヒストグラムであり同じく図-6 は水深 50 cm 以下の資料についての相対誤差の頻度分布を示している。一点法を用いる場合水深の 5 制の点の流速と用いる方が 6 制流速と用いる場合よりも平均流速との相対誤差よりも大きくなる。2 点法を用いた場合の流速は真の平均流速よりもやや大きくなる。氷被と河床の種々の組合せにもかかわらずほぼ平均流速と一致している点は実用上注目すべきである。これらの結果より結氷下の流速測定においては次式を使用することが望しい。

$$(1\text{点法}) \quad \bar{V} = 0.86 V_{0.5}, \quad (2\text{点法}) \quad \bar{V} = 0.98 (V_{0.2} + V_{0.8}) / 2$$

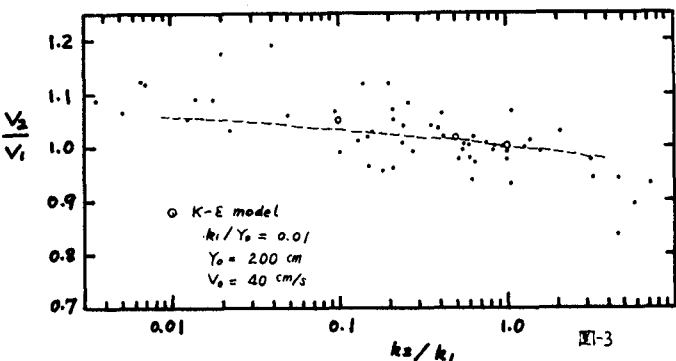


図-3

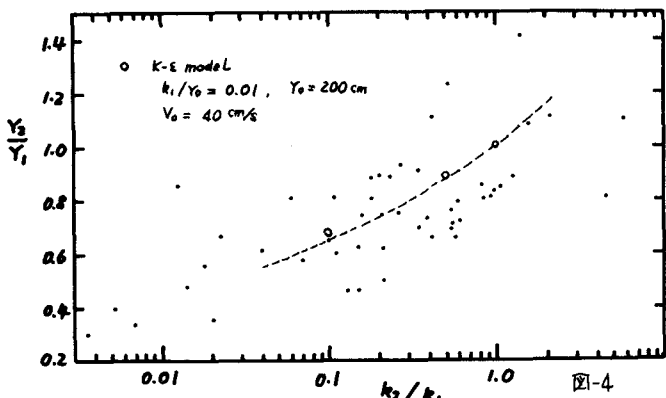
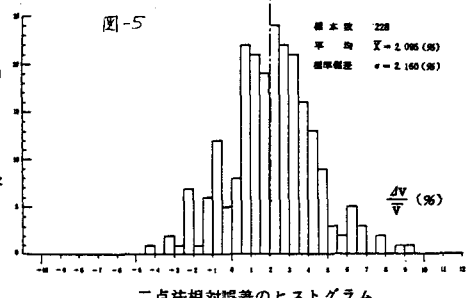
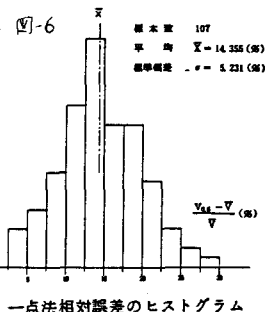


図-4

図-5



二点法相対誤差のヒストグラム



一点法相対誤差のヒストグラム

- (参考文献) (1)結氷河川の水理に関する諸特性について、中山和松編集、水講 1981, (2) Transverse Mixing in an ice-covered River, Engman and Kellerhals, Water Resources Research Vol.10, No.4, 1974 年, (3) Heat and Mass Transfer in Boundary Layer, Patankar & Spalding, Intertech Book, 1970 (4) Velocity distribution under floating ice cover, Lau, Technical note of Canada Centre for Inland Waters, 1981.